

# Alternative Pfadverfolgungs- methoden für die Strukturanalyse bei großen Verformungen

## Trust-Region-Verfahren

Bei den Trust-Region-Verfahren handelt es sich um eine Klasse von Optimierungsverfahren, die im Gegensatz zu einem klassischen Abstiegsverfahren, wie dem Newton-Raphson-Verfahren, zuerst eine maximale Schrittweite  $\Delta$  festlegt bevor man einen neue Iterierte berechnet. Man vertraut einer quadratischen Approximation  $m(p)$  einer Zielfunktion  $f(x)$  innerhalb dieses Vertrauensgebiets  $\Delta$ .

Eine neue Iterierte berechnet man indem man das Trust-Region-Teilproblem löst:

$$\min m(\mathbf{p}) = f(\mathbf{x}) + \mathbf{g}^T \mathbf{p} + \frac{1}{2} \mathbf{p}^T \mathbf{H} \mathbf{p} \text{ u.d.N. } |\mathbf{p}| \leq \Delta$$

Ist dieses Teilproblem gelöst, so bewertet man die Qualität des Testschrittes  $p$  durch den Quotienten  $\rho$ :

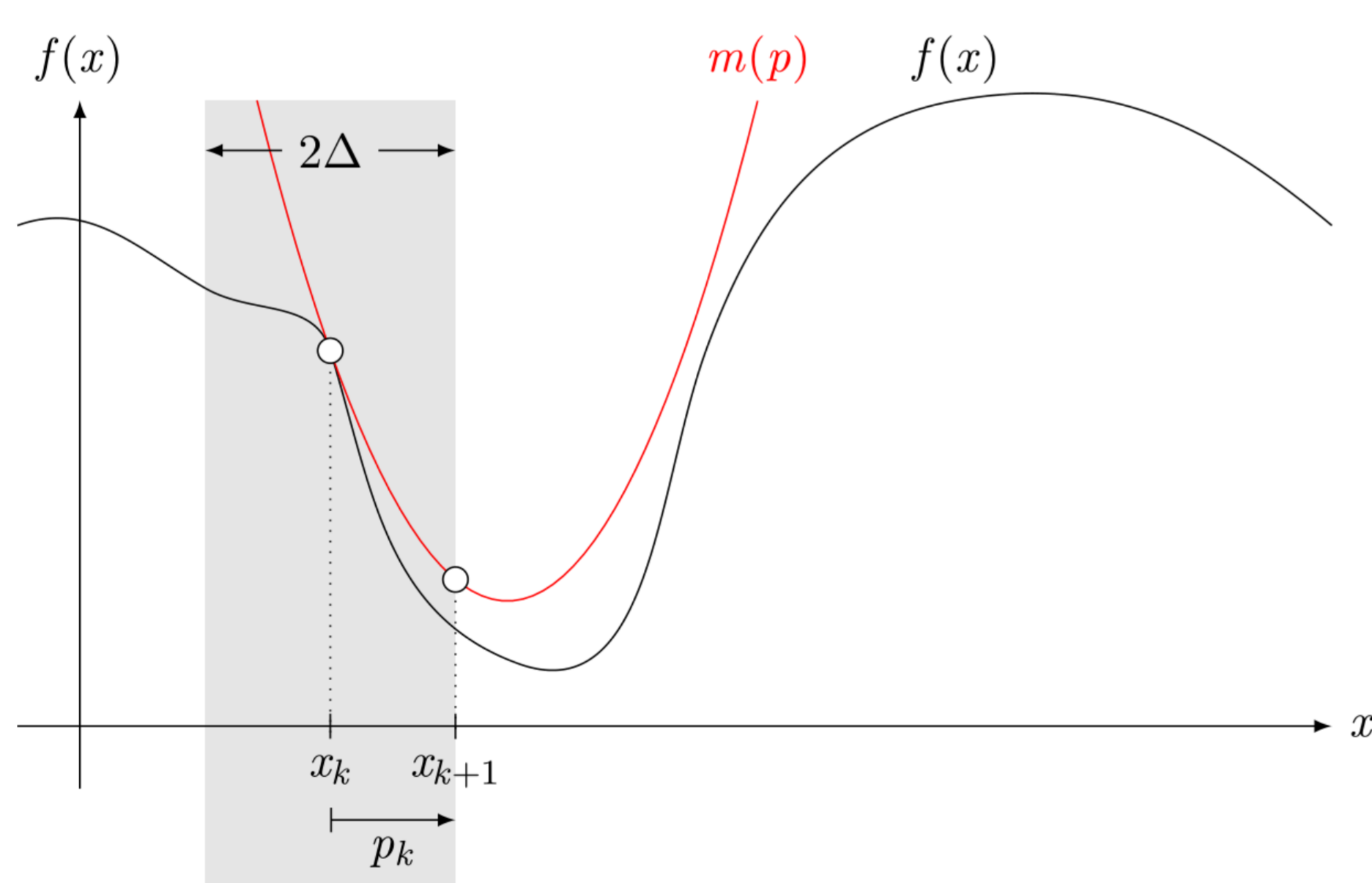
$$\rho = \frac{f(\mathbf{x}) - f(\mathbf{x} + \mathbf{p})}{f(\mathbf{x}) - m(\mathbf{p})}$$

Anhand von  $\rho$  wird auch die Größe des Vertrauensgebiets  $\Delta$  verändert:

$$\begin{aligned} \rho_k \geq \eta_2 &\rightarrow \Delta_{k+1} = \gamma_2 \Delta_k, & x_{k+1} &= x_k + p_k \\ \eta_1 \leq \rho_k < \eta_2 &\rightarrow \Delta_{k+1} = \Delta_k, & x_{k+1} &= x_k + p_k \\ \rho_k < \eta_1 &\rightarrow \Delta_{k+1} = \gamma_1 \Delta_k, & x_{k+1} &= x_k \end{aligned}$$

Um das Trust-Region-Teilproblem zu lösen gibt es in der Literatur verschiedenste Lösungssätze:

- Cauchy Methode
- Dogleg und Double-Dogleg Methode
- Steihaug-Toint Methode



Für die strukturelle Probleme ist die Zielfunktion die potentielle Energie eines Systems. Sie wird direkt minimiert.

$$\Pi = \Pi_{\text{int}} + \Pi_{\text{ext}} = \min.$$

$$\frac{d\Pi}{du} = F_{\text{int}}(u) - F_{\text{ext}}(u) = 0 \rightarrow F_{\text{int}}(u) = F_{\text{ext}}(u)$$

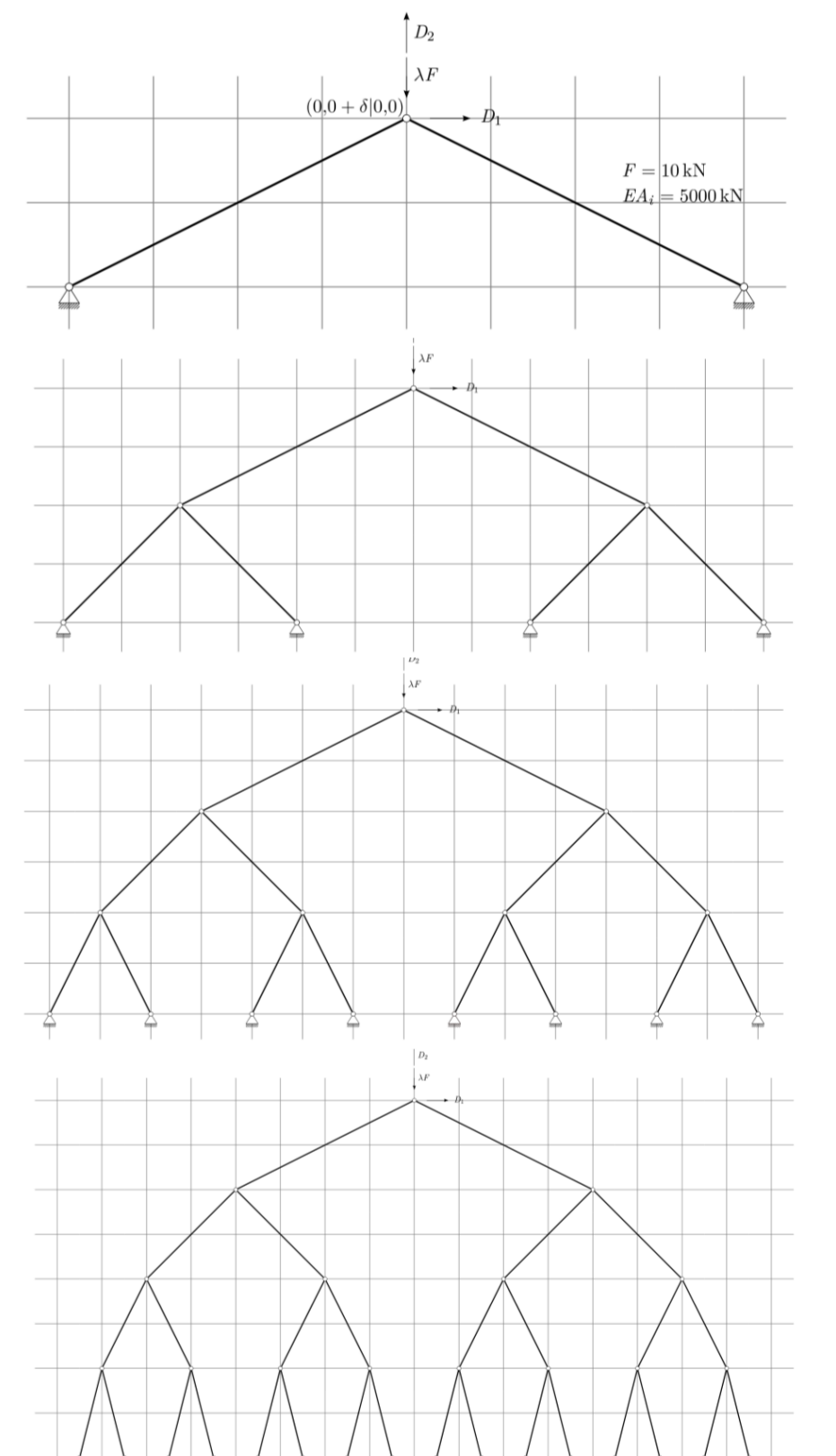
$$\frac{d\Pi}{du} = 0 \rightarrow \text{Extremum} \rightarrow \frac{d^2\Pi}{du^2} \begin{cases} > 0 \rightarrow \text{Minimum} \\ = 0 \rightarrow \text{Sattelpunkt} \\ < 0 \rightarrow \text{Maximum} \end{cases}$$

Betreuer: Dipl.-Ing. Steffen Roth und Alexander Müller, M.Sc.

## Numerisches Beispiel

Trust-Region-Verfahren sind deutlich effizienter als das Newton-Raphson-Verfahren. Mit der Steihaug-Toint Methode berechnet man mit deutlich weniger Iterationen, Assemblierungsoperationen sowie deutlich schneller den Pfad eines Tragwerks.

| Sys.-Fhg.  | Cauchy      | Dogleg | D.-Dogleg | Steihaug-T. | Newton-R. |
|--|-------------|--------|-----------|-------------|-----------|
| Iterationen (Lastinkrementübergreifend)                                  |             |        |           |             |           |
| 2  | 553         | 113    | 113       | 113         | 333       |
| 6  | 2024        | 214    | 214       | 129         | 297       |
| 14   | nicht konv. | 355    | 362       | 165         | 589       |
| 30   | nicht konv. | 791    | 1147      | 225         | 235       |
| Anzahl des Neuberechnens von Matrizen und Vektoren                       |             |        |           |             |           |
| 2  | 551         | 111    | 111       | 111         | 353       |
| 6  | 2015        | 193    | 193       | 123         | 1902      |
| 14   | nicht konv. | 302    | 309       | 151         | 609       |
| 30   | nicht konv. | 713    | 1045      | 194         | 255       |
| Anzahl der Assemblierungsoperationen                                     |             |        |           |             |           |
| 2  | 1062        | 182    | 182       | 182         | 706       |
| 6  | 11970       | 1038   | 1038      | 618         | 1902      |
| 14   | nicht konv. | 3948   | 4046      | 1834        | 8526      |
| 30   | nicht konv. | 20790  | 30750     | 5220        | 7650      |
| Anzahl von Matrixinversen ( $\mathbf{H}^{-1}$ bzw. $\mathbf{K}_T^{-1}$ ) |             |        |           |             |           |
| 2  | 0           | 94     | 94        | 0           | 333       |
| 6  | 0           | 195    | 195       | 0           | 297       |
| 14   | nicht konv. | 336    | 343       | 0           | 589       |
| 30   | nicht konv. | 772    | 1128      | 0           | 235       |
| Zeitmessung in Sekunden (Mittel aus 5 Berechnungen)                      |             |        |           |             |           |
| 2  | 1,0538      | 0,4966 | 0,4744    | 0,2698      | 0,379     |
| 6  | 3,8532      | 0,7056 | 0,6202    | 0,2774      | 0,4088    |
| 14   | nicht konv. | 1,0444 | 0,8952    | 0,3652      | 0,738     |
| 30   | nicht konv. | 2,5094 | 3,2288    | 0,5356      | 0,6718    |



## Literatur

Geiger, C.; Kanzow, C.: *Numerische Verfahren zur Lösung unrestringierter Optimierungsaufgaben*. Springer Berlin Heidelberg, 1999.

